

[8] Лихарев К.К. Введение в динамику джозефсоновских переходов, М.: Наука, 1985. 320 с.

Физический институт  
им. П.И. Лебедева  
АН СССР, Москва

Поступило в Редакцию  
12 марта 1988 г.

Письма в ЖТФ, том 14, вып. 11

12 июня 1988 г.

ОПТИЧЕСКИЙ АНАЛИЗАТОР СПЕКТРА  
ИНТЕРФЕРЕНЦИОННОГО ТИПА  
С КАЧАЮЩИМСЯ ЗЕРКАЛОМ

Н.А. Есепкина, С.Ю. Бондарцев,  
А.П. Лавров, К.В. Морозов,  
А.В. Никандров, М.Р. Шубич

Для спектрального анализа сигналов с высоким частотным разрешением в оптике предложено большое число методов и устройств, причем в последнее время большое внимание исследователей привлекают акустооптические анализаторы спектра с временным интегрированием [1, 2].

В данной статье рассматривается оптический анализатор спектра (ОАС) с временным интегрированием интерференционного типа, в котором для создания сетки опорных временных частот используется не частный сдвиг дифрагированного на акустооптическом модуляторе светового пучка, а линейный фазовый сдвиг, создаваемый сканирующим дефлектором, в качестве которого используется подвижное зеркало [3]. Очевидными преимуществами рассматриваемого ОАС являются компактность и простота оптической схемы и управляющих электронных блоков.

Структурная схема рассматриваемого ОАС представлена на рис. 1. В этой схеме коллимированный световой пучок полупроводникового лазера (ПЛ), формируемый с помощью формирователя ( $\Phi$ ), делится на два пучка делителем ( $\Delta$ ). Один из этих пучков используется для контроля интенсивности излучения ПЛ (линза  $L_1$  и фотодиод  $\Phi D$ ), а второй — для реализации собственно спектроанализатора. Этот пучок отражается от подвижного (качающегося вокруг оси  $O$ ) зеркала дефлектора ( $\Pi_3$ ) и попадает на жесткий интерферометр ( $I$ ), состоящий из делительного кубика, прямоугольной призмы и неподвижного зеркала. Линза  $L_2$  формирует в выходной плоскости ( $B\Gamma$ ) спектроанализатора изображение апертуры подвижного зеркала с коэффициентом увеличения  $\beta$ .

Пусть дефлектор управляется таким образом, что  $\sin \theta = \alpha t$  в течение некоторого интервала времени  $[0, T]$ . Здесь  $\theta$  — угол отражения от подвижного зеркала по отношению к падающему пучку.

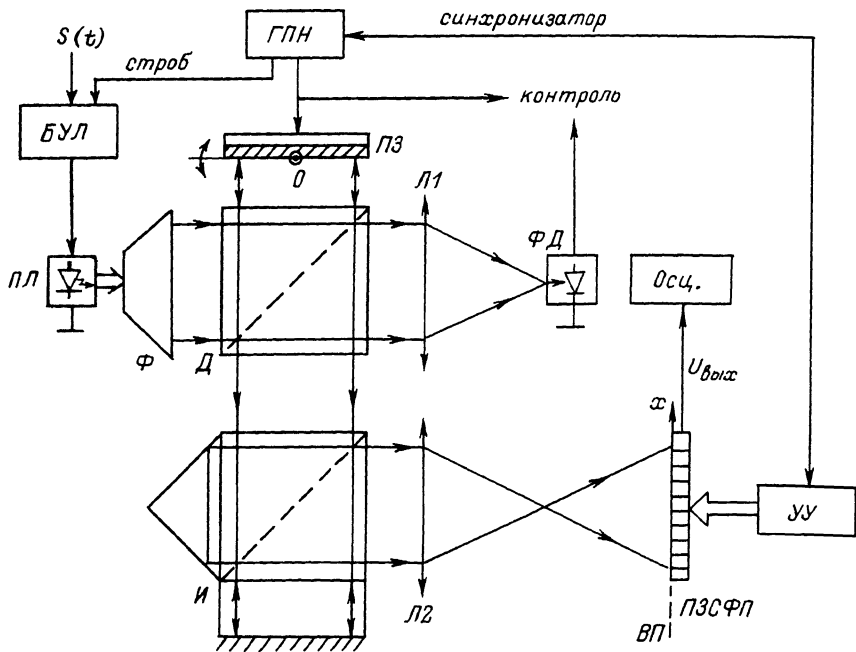


Рис. 1.

Тогда в плоскости ВП, где интерферируют два пучка, прошедшие по двум плечам интерферометра И, формируется интерференционная картина в виде

$$I(x, t) \cong I_o(t) + I_o(t) \cos(2\alpha k x t + \varphi).$$

Здесь  $x$  - координата в плоскости ВП,  $k$  - волновое число,  $\varphi$  - относительный фазовый сдвиг в двух плечах интерферометра при  $\theta = 0$ ,  $I_o(t)$  - интенсивность падающего на дефлектор пучка,  $\alpha = 1$ . Таким образом, в выходной плоскости возникает модуляция интенсивности света с временной частотой, зависящей от координаты  $x$  светового пучка. Физически она связана с возникновением при наклоне плоских пучков изменяющегося во времени фазового сдвига.

При модуляции интенсивности излучения ПЛ сигналом  $S(t)$  установленный в ВП линейный многоэлементный интегрирующий ПЗС фотоприемник (ПЗСФП) за промежуток  $T$  зарегистрирует распределение

$$U(x) \cong U_o + \int_0^T S(t) \cdot \cos(2\alpha k t_x + \varphi) dt = U_o + U_s(x).$$

При  $\varphi = 0$  получаем косинус преобразование сигнала  $S(t)$ , при  $\varphi = \pi/2$  – синус преобразование. Зарегистрированное распределение выводится из ПЗСФП с помощью устройства управления (УУ). Блок управления лазером (БУЛ) производит модуляцию интенсивности излучения ПЛ анализируемым сигналом  $S(t)$  и стробирует излучение на время обратного хода ПЗ дефлектора. Очевидно, что диапазон анализируемых частот рассматриваемого ОАС составляет  $[0, f_{\max}]$ , где

$$f_{\max} = \frac{\sin \theta_{\max} \cdot D \cdot k}{2\pi \cdot T} = \frac{\alpha \cdot D \cdot k}{2\pi},$$

а  $D$  – апертура светового пучка. При этом разрешение по частоте составляет  $\delta f = 1/T$ . В данном ОАС для времени интегрирования  $T$  в десятки миллисекунд можно реализовать частотное разрешение  $\delta f$  в десятки герц, при этом диапазон анализируемых частот определяется угловой скоростью вращения  $\alpha$  ПЗ.

В экспериментально исследованном макете ОАС (см. рис. 1) использовался выпускаемый промышленностью импульсный полупроводниковый лазер со следующими параметрами: длина волны излучения  $\lambda = 681$  нм, ширина линии излучения  $\Delta\lambda = 0.1$  нм, средняя мощность в импульсе  $P \approx 10$  мВт, длительность импульсов тока накачки 100 нс, скважность  $\theta = 100$ . При выравнивании оптических путей светового пучка в плечах интерферометра длина когерентности излучения использованного лазера была достаточна для работы ОАС. В экспериментах осуществлялась линеаризация амплитудной модуляционной характеристики ПЛ с помощью блока управления БУЛ, формировавшего импульсы тока накачки и имевшего регулируемую нелинейность, компенсирующую нелинейность ватт-амперной характеристики ПЛ. Апертура светового пучка  $D$  была равна 7 мм, коэффициент увеличения  $\beta = 3$ .

В экспериментах использовался промышленный пьезодефлектор типа ПД-1 с апертурой зеркала 15 мм и углом качания зеркала  $[-5^\circ, +5^\circ]$ , а также 500-элементный ПЗСФП типа ФПЗС-1Л. Управляющее напряжение на дефлектор подавалось от генератора пилообразного напряжения (ГПН). Время интегрирования ПЗСФП задавалось с помощью устройства управления и изменялось в пределах 50–100 мс.

Для выделения информативной составляющей  $U_s(x)$  в выходном распределении  $U(x)$  ПЗСФП нами производилась его аналоговая обработка, которая осуществлялась в самом ПЗСФП с помощью разработанного УУ [4] и заключалась в вычитании результатов двух последующих периодов интегрирования. При этом постоянные от периода к периоду составляющие выходного распределения компенсировались, а изменяющаяся информативная составляющая удваивалась.

На фотографиях рис. 2 представлены выходные сигналы ОАС. На рис. 2,а нижний луч представляет выходное распределение ПЗСФП без обработки при подаче на вход ОАС двух гармонических сигналов равной амплитуды с частотами  $f_1 = 310$  Гц и  $f_2 = 1220$  Гц

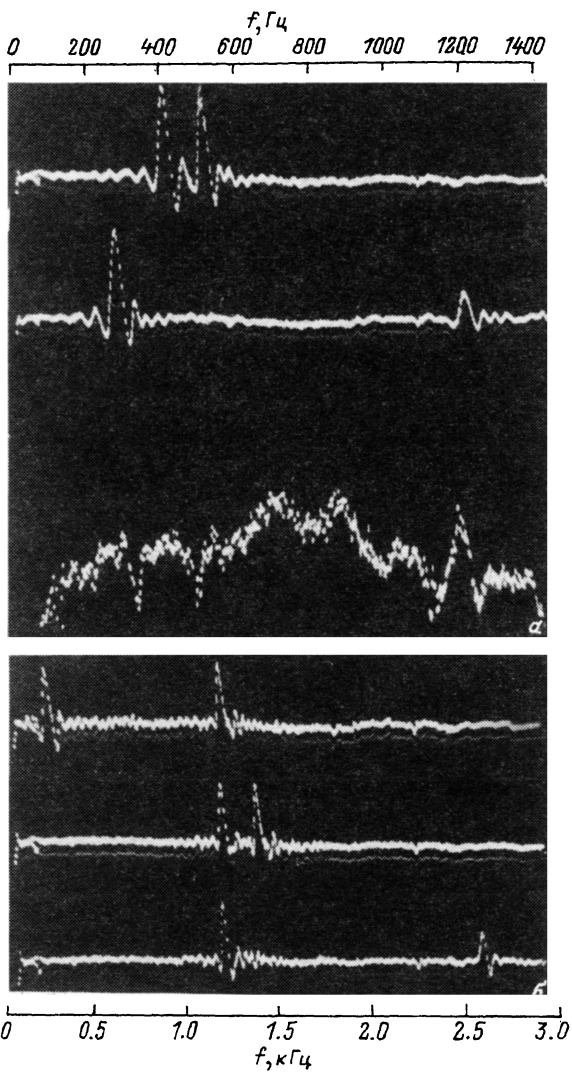


Рис. 2.

при угле качания ПЗ дефлектора  $\theta_{max} = 20^\circ$ . На среднем луче представлен этот же сигнал после обработки. Верхний луч (рис. 2,а) представляет выходной сигнал ОАС после обработки при подаче на его вход двух сигналов с частотами  $f_3 = 440$  Гц и  $f_4 = 540$  Гц. Обработка полученных осциллограмм показывает, что частотное разрешение составляет величину  $\Delta f = 18$  Гц (расчетное значение  $\Delta f = 17.5$  Гц), а диапазон анализируемых частот  $\Delta f = 1250$  Гц.

На рис. 2,б представлены выходные сигналы ОАС после обработки при угле качания ПЗ дефлекторе  $\theta_{max} = 40^\circ$  и при подаче на вход ОАС двух гармонических сигналов равной амплитуды с частотами: верхний луч - 310 и 1220 Гц; средний луч - 1220 и 1410 Гц; нижний луч - 1220 и 2600 Гц. Анализ полученных осциллограмм показывает, что диапазон анализируемых частот составляет  $\Delta f = 2500$  Гц, а частотное разрешение меняется от 22 Гц в средней части до 24 Гц в верхней части диапазона анализируемых частот. Расширение отклика на гармонический входной сигнал, его ослабление и изменение формы в верхней части диапазона происходит вследствие влияния нелинейности закона изменения синуса угла поворота во времени и уменьшения видности интерференционных полос на краю апертуры светового пучка. Общее число разрешимых точек ОАС составляет в этом случае величину около 100.

Таким образом, проведенное экспериментальное исследование показало, что рассматриваемый анализатор спектра, отличаясь своей простотой, компактностью и малым энергопотреблением, может осуществлять при использовании современной промышленно выпускаемой элементной базы параллельный спектральный анализ с высоким частотным разрешением (десятки герц) и большим числом разрешимых точек (несколько сотен герц). При этом рассмотренный ОАС может быть использован как самостоятельно, так и в составе более сложных двумерных оптических процессоров.

## Л и т е р а т у р а

- [1] Терпин Т.М. Спектральный анализ сигналов оптическими методами. - ТИИЭР, 1981, т. 69, № 1, с. 92-108.
- [2] Shin - Chin Lin. - Appl. Optics, 1982, v. 21, N 18, p. 3227.
- [3] Turgin T.M. US Patent № 4225938 от 30.04.80.
- [4] Арутюнов В.А., Есепкина Н.А., Котов Б.А. и др. В кн.: Оптико-электронные методы обработки изображений, Л.: Наука, 1982, с. 147-165.

Ленинградский политехнический  
институт им. М.И. Калинина

Поступило в Редакцию  
5 апреля 1988 г.